

ти образующиеся α -частицы замагнечены, т. е. достигается подавление основного фактора, определяющего предел зажигания. Несмотря на существенную роль потерь на излучение в этом варианте, ход температурной зависимости кривой 2 показывает образование вспышки с положительным выделением энергии.

На рис. 2 приведены результаты аналогичного численного моделирования для противоположного предельного случая — сжатия лайнера плазменного цилиндра с большим начальным радиусом $R_0 = 5.5$ см, $n_0 = 10^{18}$ см $^{-3}$. Погонная масса лайнера ≈ 32 г/см, максимальная скорость $\approx 5 \cdot 10^6$ см/с. В варианте, соответствующем образованию вспышки (кривая 2), начальное продольное магнитное поле внутри лайнера ≈ 3.5 кГс.

Кинетическая энергия лайнера в условиях рис. 1, 2 составляла от 100 до 400 кДж. Таким образом, результаты численного моделирования показывают, что индукционный нагрев DT плазмы в системе типа Θ -пинча с захватом α -частиц на стадии зажигания может быть перспективным методом инерционного управляемого термоядерного синтеза.

Список литературы

- [1] Nuckolls T., Wood L., Thiessen A. et al. // Nature. 1972. Vol. 239. P. 139—142.
- [2] Widner M. M. // Bull. Am. Phys. Soc. 1977. Vol. 22. P. 1139—1139.
- [3] Tidman D. A. // Bull. Am. Phys. Soc. 1980. Vol. 25. P. 589—590.
- [4] Lindemuth I. R., Kirkpatrick R. C. // Atomkernenergie / Kerntechnik. 1984. Vol. 45. P. 9—13.
- [5] Lindemuth I. R., Kirkpatrick R. C. // Nucl. Fusion. 1983. Vol. 23. P. 263—284.
- [6] Liberman M. A., Velikovich A. L. // J. Plasma Phys. 1984. Vol. 31. P. 381—393.
- [7] Великович А. Л., Гольберг С. М., Либерман М. А., Фелбер Ф. С. // ЖЭТФ. 1985. Т. 88. С. 445—460.
- [8] Rahman H. U., Felber F. S., Wessel F. J. et al. // Megagauss Technology and Pulsed Power Applications / Ed. by C. M. Fowler, R. S. Caird, D. J. Erickson. New York: Plenum Press, 1987. P. 191—197.

Институт физических проблем
им. С. И. Вавилова АН СССР
Москва

Поступило в Редакцию
6 июля 1988 г.

05; 06; 09

Журнал технической физики, т. 59, № 8, 1989

О РАСПРЕДЕЛЕНИИ ПОЛЯ В КРАЕВЫХ МАГНИТОПЛАЗМЕННЫХ КОЛЕБАНИЯХ В 2D-КАНАЛЕ ГЕТЕРОСТРУКТУРЫ GaAs—AlGaAs

И. Е. Батов, С. А. Говорков, Б. К. Медведев, В. Г. Мокеров, В. И. Тальянский

В работах [1—3] показано, что ограниченный 2D-канал гетероструктуры GaAs—AlGaAs в сильном ($\sigma_{xy} \gg \sigma_{xx}, \sigma_{zz}$; σ_{xx}, σ_{xy} — компоненты тензора электропроводности) магнитном поле является открытым СВЧ резонатором, в котором происходят колебания колловского тока. Эти колебания называют краевыми магнитоплазменными колебаниями (КМК); затухание КМК минимально в режиме квантового эффекта Холла (КЭХ) [2]. Рис. 1 показывает резонансное поглощение электромагнитной энергии ограниченным 2D-каналом гетероструктуры GaAs—AlGaAs, обусловленное возбуждением основной моды КМК. В [4] предложен приближенный метод определения собственных частот КМК, основанный на представлении о том, что КМК локализовано у края 2D-канала («периметрическая» волна). В этом методе используется закон дисперсии $\omega(q)$ КМК, распространяющегося вдоль края 2D-канала в форме полуплоскости [4]:

$$\omega(q) = \frac{2\sigma_{xy}q}{\epsilon} \left[\ln \frac{2}{ql} + 1 \right], \quad (1)$$

где l — ширина полоски вдоль края 2D-канала, в которой сосредоточен заряд КМК.

Длина l играет важную роль в теории [4] и определяет спектр и распределение поля в КМК. Значения q для ограниченного 2D-канала (и собственные частоты) определяются процедурой «квантования»

$$q_n = \frac{2\pi n}{P}, \quad \omega_n = \omega(q_n), \quad (2)$$

где P — периметр 2D-канала, n — целое число.

Все измерения низкочастотных ($\omega \tau \ll 1$) КМК проводили до сих пор на образцах с тонкой (~ 0.4 мм) диэлектрической подложкой из GaAs (рис. 1, вставка), в то же время расчет [4] справедлив для 2D-канала, «погруженного» в бесконечную диэлектрическую среду. Ниже мы покажем, что форма диэлектрического окружения (подложки) существенно влияет на распределение поля в КМК и, следовательно, сравнение теоретических и имеющихся экспериментальных результатов некорректно. Целью данной работы является экспериментальное исследование распределения поля КМК в образцах с различной формой диэлектрической подложки, измерение частоты КМК в условиях, описываемых теорией [4], и определение длины l .

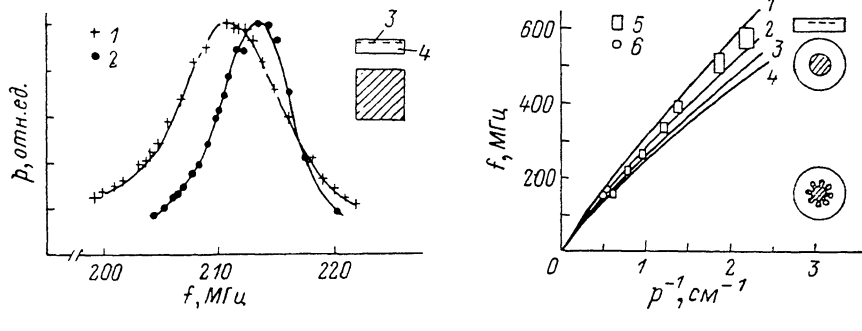


Рис. 1. Зависимость поглощенной в 2D-канале гетероструктуры GaAs-AlGaAs СВЧ мощности от частоты.

Магнитное поле 6.5 Тл соответствует режиму КЭХ ($\sigma_{xy} = e^2 i / h$, $i=2$). Температура измерений: 1 — 4.2, 2 — 1.7 К. На вставке показана форма образца: 3 — 2D канал (квадрат 3×3 мм), 4 — подложка из GaAs ($3 \times 3 \times 0.4$ мм).

Рис. 2. Зависимость частоты основной моды КМК от периметра 2D-канала, находящегося на подложке больших размеров.

Магнитное поле 3.2 Тл, температура 4.2 К. Сплошные кривые — расчет по формулам (1), (2) для различных l : 1 — 10, 2 — 20, 3 — 30, 4 — 40 мкм.

Распределение поля в КМК исследовали качественно с помощью «возмущающего» диэлектрика (тонкая пластинка GaAs), помещаемого на различные части 2D-канала. Возникающий сдвиг частоты КМК характеризовал среднюю интенсивность поля в месте расположения пластинки. Частоту КМК определяли резонаторным методом, описанным в [1, 2]. Исследовались гетероструктуры GaAs-AlGaAs с концентрацией и подвижностью носителей $\sim 3 \times 10^{11}$ см $^{-2}$ и 10 5 см 2 /В·с соответственно. Все приводимые ниже значения частоты КМК соответствуют магнитному полю (~ 3 Тл), при котором 2D-канал находился в режиме КЭХ ($\sigma_{xy} = e^2 i / h$, $i=4$) и затухание КМК минимально. Возмущающая пластинка (квадрат 2×2 мм, толщина 0.4 мм), помещенная в центр 2D-канала (квадрат 3×3 мм), находящегося на тонкой подложке, снижала частоту КМК с 430 до 390 МГц. Та же пластинка, помещенная в угол 2D-канала, снижала частоту с 430 до 370 МГц. Таким образом, при смещении пластинки из центра к краю 2D канала сдвиг частоты возрастал незначительно — от 40 до 60 МГц, что свидетельствует о распределенном характере КМК в 2D-канале с тонкой подложкой. По этой причине формулы (1), (2) неприменимы для описания таких образцов. Аналогичные опыты мы провели для 2D-канала, находящегося на подложке больших размеров (рис. 2, верхняя вставка). Предварительно мы убедились, что дальнейшее увеличение размеров подложки не влияет на частоту КМК, поэтому такая подложка моделирует полупространство, заполненное диэлектриком; ее учет сводится к замене в (1) ϵ на $(\epsilon+1)/2$. Возмущение центральной части 2D-канала (канал имел форму круга диаметром 4 мм, возмущающая пластиника — диск диаметром 3 мм) не приводило к заметному сдвигу частоты (≤ 5 МГц). Если пластинку располагали таким образом, чтобы она закрывала максимально возможную часть края 2D-канала, то сдвиг частоты КМК составил 40 МГц. Видно, что в этом случае КМК локализовано у края 2D-канала. Остается проверить, что степень локализации КМК достаточна для

того, чтобы процедура «квантования» квазиимпульса (2) не приводила к большой ошибке. Мы измерили зависимость частоты КМК от периметра круглого 2D-канала (рис. 2, 5). Затем были изготовлены образцы, в которых 2D-канал имел границу сложной формы, напоминающей шестеренку (рис. 2, нижняя вставка). Характерный размер «зуба» составлял ~ 0.5 мм, максимальный размер 2D-канала (диаметр описывающей окружности) был 4 мм, периметр ~ 20 мм. Результаты измерений на двух таких образцах показаны на рис. 2, 6. Видно, что частота КМК действительно определяется величиной периметра, а не формой 2D-канала. Сравнение экспериментальных данных с теоретическими зависимостями, рассчитанными по формулам (1) и (2) (с заменой ϵ на $(\epsilon+1)/2$), дает значение l в интервале 10—20 мкм (рис. 2). Вычисления [4] и экспериментальное значение l полностью определяют распределение поля в КМК для 2D-канала, находящегося на поверхности диэлектрика больших размеров.

В заключение отметим, что обнаруженный нами факт влияния формы подложки на характер распределения поля КМК в 2D-канале, по-видимому, можно объяснить следующим образом. Тонкая подложка существенно уменьшает поле вблизи края 2D-канала и незначительно в центральной части, делая тем самым КМК распределенным по 2D-каналу. Подложка в форме полупространства вообще не искаивает распределение поля в 2D-канале (а уменьшает его в $(\epsilon+1)/2$ раз), и КМК оказывается локализованным у края.

Авторы благодарны Д. Е. Хмельницкому и В. Б. Шикину за полезные обсуждения.

Список литературы

- [1] Говорков С. А., Резников М. И., Сеничкин А. П., Тальянский В. И. // Письма в ЖЭТФ. 1986. Т. 44. Вып. 7. С. 380—382.
- [2] Говорков С. А., Резников М. И., Медведев Б. К. и др. // Письма в ЖЭТФ. 1987. Т. 45. Вып. 5. С. 252—254.
- [3] Галченков Л. А., Гродненский И. М., Камаев А. Ю. // ФТП. 1987. Т. 21. Вып. 12. С. 2197—2200.
- [4] Волков В. А., Михайлов С. А. // Письма в ЖЭТФ. 1985. Т. 42. Вып. 11. С. 450—453.

Институт физики твердого тела
АН СССР
Черноголовка

Поступило в Редакцию
27 июля 1988 г.

01; 04

Журнал технической физики, т. 59, № 8, 1989

ИОНИЗАЦИОННО-ПЕРЕГРЕВНАЯ НЕУСТОЙЧИВОСТЬ В РЕКОМБИНИРУЮЩЕЙ ПЛАЗМЕ

А. Х. Мнацаканян, Г. В. Найдис

Одним из перспективных способов создания сильно неравновесной плазмы (для накачки газовых лазеров, для плазмохимических приложений и т. д.) является использование разряда, в котором процессы ионизации и накачки разнесены во времени. Короткий ионизующий импульс (самостоятельный разряд либо внешний источник ионизации) создает плазму, а затем в слабом электрическом поле на стадии рекомбинации заряженных частиц производится эперговклад. Устойчивость разряда постоянного тока в азоте на распадной фазе исследовалась численно в [1, 2], где, кроме прямой ионизации молекул электронным ударом, в расчетную модель включались ступенчатая ионизация (через возбужденное состояние $A^3\Sigma$), а также (при низких значениях приведенной напряженности поля E/N) ассоциативная ионизация при столкновении колебательно-возбужденных молекул. Известно, однако, что в несамостоятельных импульсных разрядах постоянного тока неустойчивость обычно зарождается в приэлектродных слоях с последующим прорастанием канала через разрядный промежуток [3]. В последнее время появились работы, в которых экспериментально исследовалась устойчивость несамостоятельного СВЧ разряда в азоте и воздухе как во время действия внешнего ионизатора [4], так и на распадной фазе [5]. В этом случае неустойчивость должна зарождаться в объеме газа, поэтому применение для ее описания локально-однородных моделей более оправдано.

В данной работе рассматривается развитие ионизационно-перегревной неустойчивости в рекомбинирующей плазме для условий [5] (характерные времена развития неустойчивости